

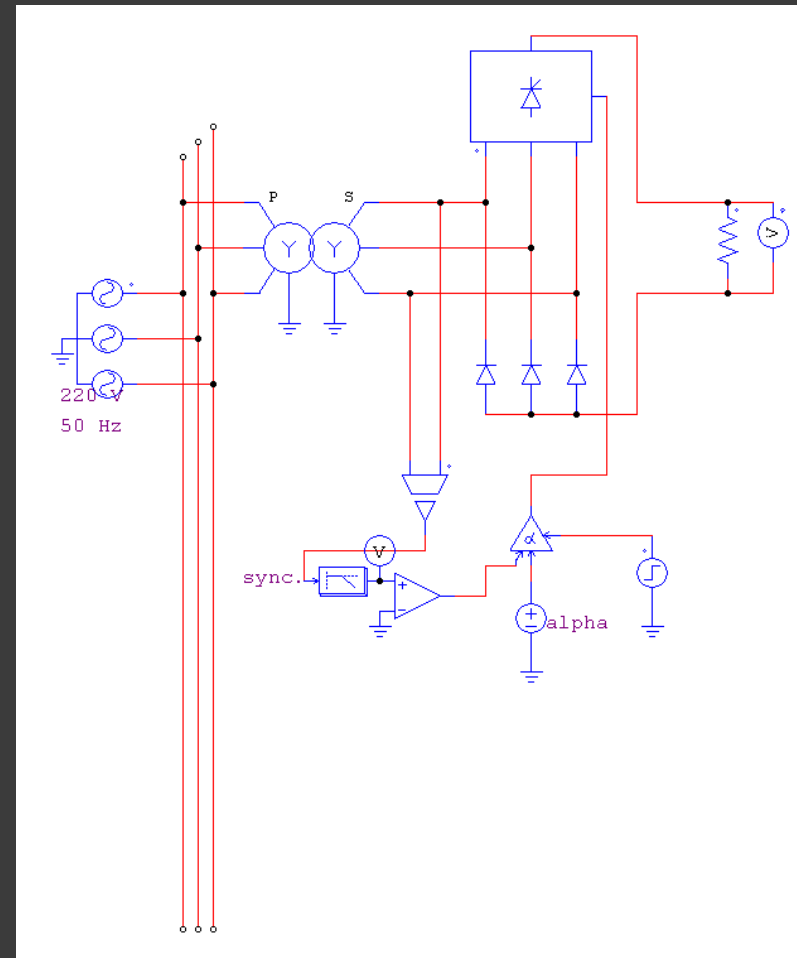
OpenCourseWare de la Universidad del País Vasco / Euskal Herriko Unibertsitatea
<http://ocw.ehu.es>

Estudio de Rectificadores Trifásicos

13.- Rectificadores semi-controlados PD3 y S3

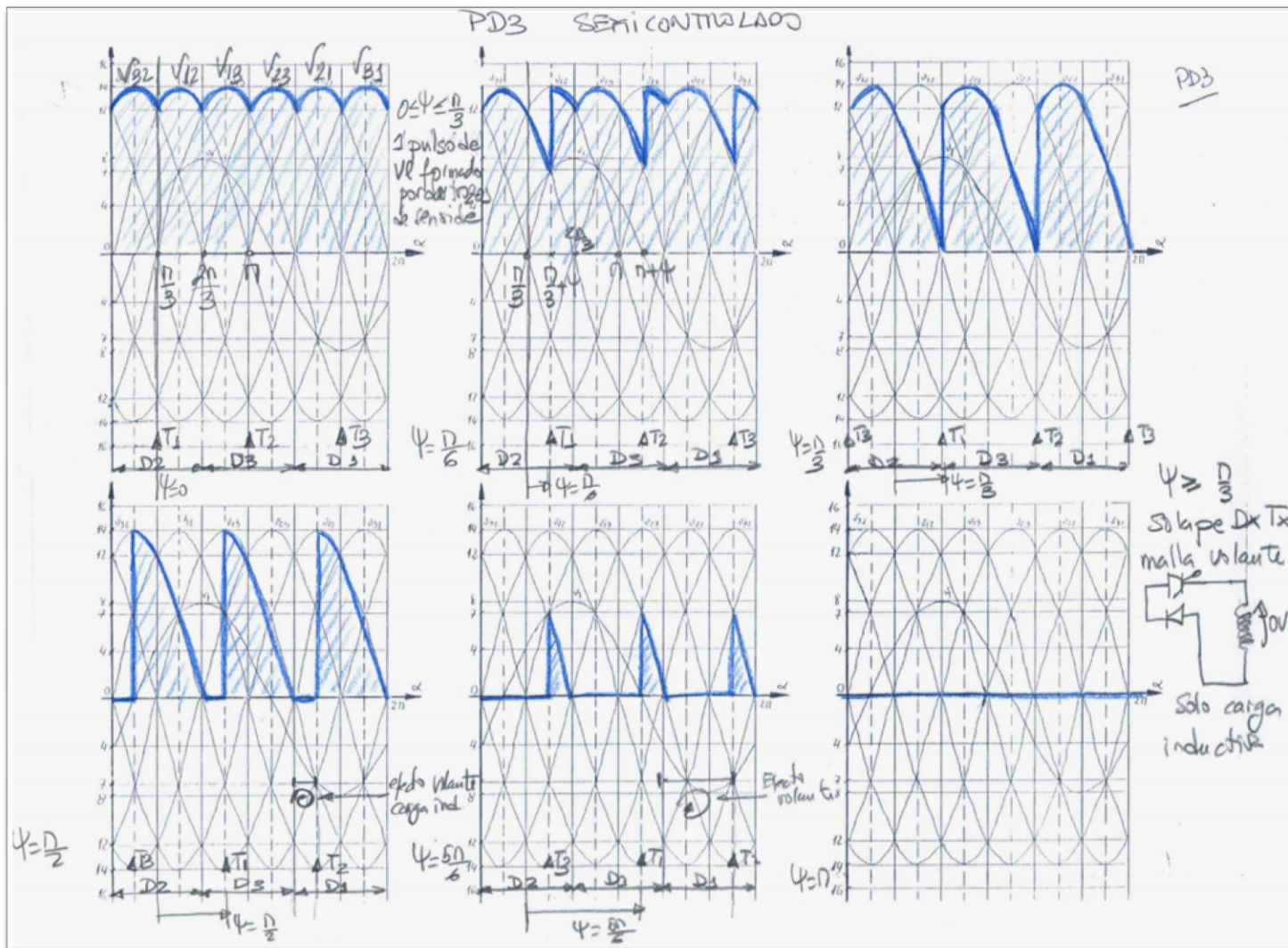
Rectificador trifásico paralelo doble semicontrolado

PD3



Rectificador trifásico paralelo doble semicontrolado PD3

Estudio de las tensiones



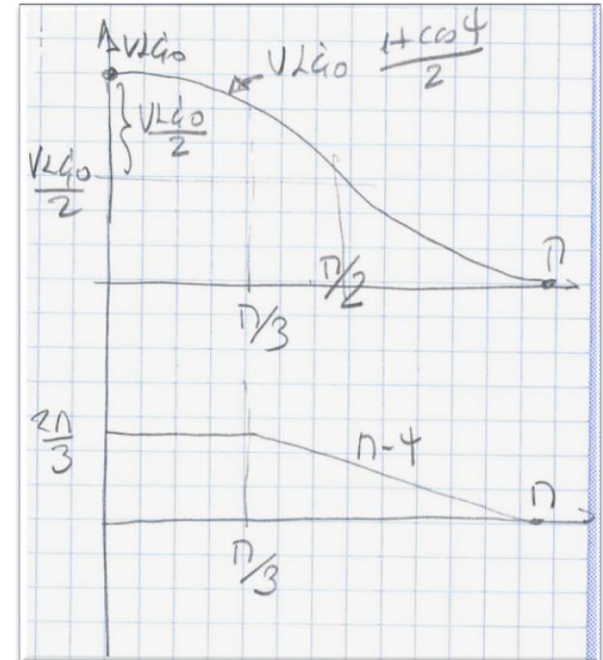
Rectificador trifásico paralelo doble semicontrolado PD3

Estudio de las tensiones

Carga resistiva o inductiva:

$$0 \leq \psi \leq \frac{\pi}{3} \rightarrow \gamma' = \frac{2\pi}{3}$$

$$\begin{aligned}
 VLC_0 &= \frac{3}{2\pi} \left[\int_{\frac{\pi}{3}+\psi}^{\frac{2\pi}{3}} \sqrt{3} V_0 \sin \alpha d\alpha + \int_{\frac{2\pi}{3}}^{\pi+\psi} \sqrt{3} V_0 \sin \left(\alpha - \frac{\pi}{3} \right) d\alpha \right] = \\
 &= \frac{3}{2\pi} \left[\int_{\frac{\pi}{3}+\psi}^{\frac{2\pi}{3}} \sqrt{3} V_0 \sin \alpha d\alpha + \int_{\frac{\pi}{3}}^{\frac{2\pi}{3}+\psi} \sqrt{3} V_0 \sin \left(\alpha - \frac{\pi}{3} \right) d\alpha \right] = \\
 &= \frac{3\sqrt{3}}{2\pi} V_0 \left[-\cos \frac{2\pi}{3} + \cos \left(\frac{\pi}{3} + \psi \right) - \cos \left(\frac{2\pi}{3} + \psi \right) + \cos \frac{\pi}{3} \right] = \\
 &= \frac{3\sqrt{3}}{2\pi} V_0 \left[-\cos \frac{2\pi}{3} + \cos \frac{\pi}{3} \cos \psi - \sin \frac{\pi}{3} \sin \psi - \cos \frac{2\pi}{3} \cos \psi + \sin \frac{2\pi}{3} \sin \psi + \cos \frac{\pi}{3} \right] = \\
 &= \frac{3\sqrt{3}}{2\pi} V_0 \left[\frac{1}{2} + \frac{1}{2} \cos \psi - \frac{\sqrt{3}}{2} \sin \psi + \frac{1}{2} \cos \psi + \frac{\sqrt{3}}{2} \sin \psi + \frac{1}{2} \right] = \frac{3\sqrt{3}}{\pi} V_0 \left(\frac{1 + \cos \psi}{2} \right) = \\
 &= VLC_0 \left(\frac{1 + \cos \psi}{2} \right)
 \end{aligned}$$

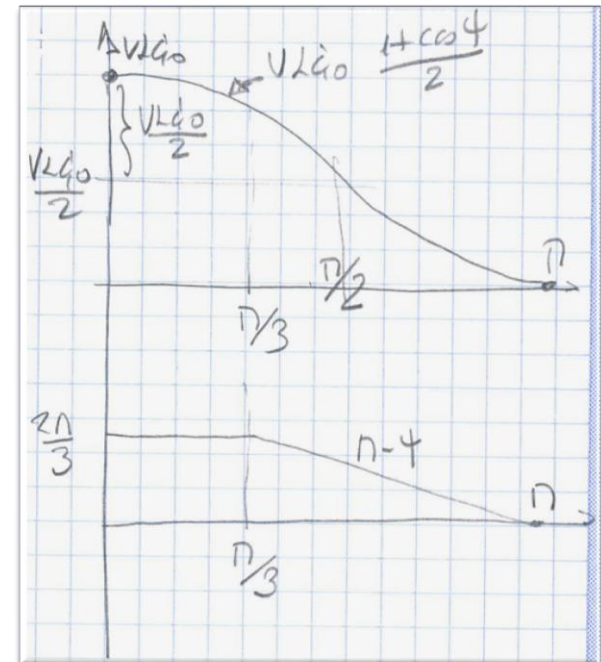


Rectificador trifásico paralelo doble semicontrolado PD3

Estudio de las tensiones

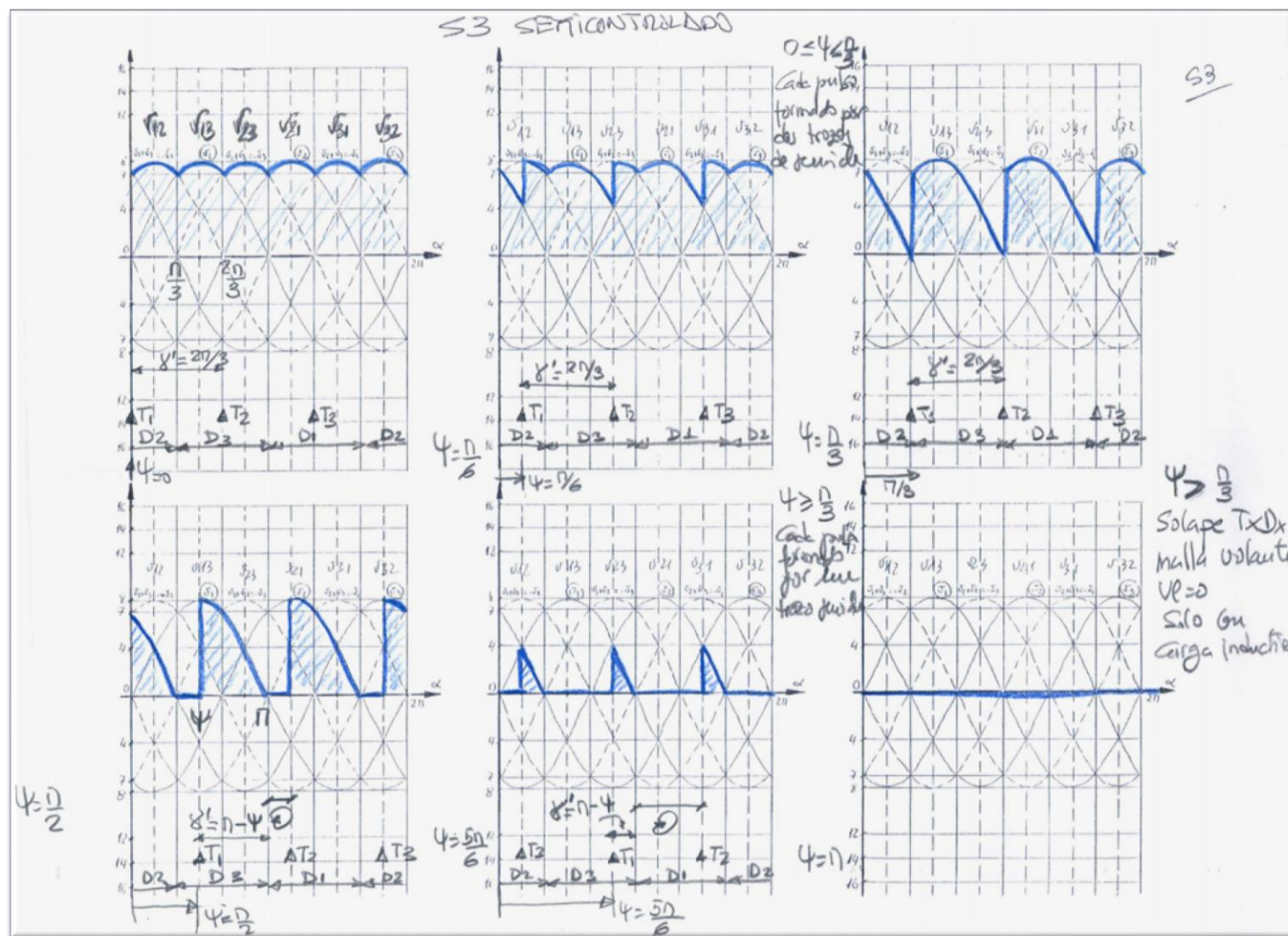
$$\frac{\pi}{3} < \psi \leq \pi \rightarrow \gamma' = \pi - \psi$$

$$\begin{aligned}
 VLC_0' &= \frac{3}{2\pi} \int_{\frac{\pi}{3}+\psi}^{\frac{4\pi}{3}} \sqrt{3} V_0 \sin\left(\alpha - \frac{\pi}{3}\right) d\alpha = \int_{\psi}^{\pi} \sqrt{3} V_0 \sin\alpha d\alpha = \\
 &= \frac{3\sqrt{3}}{\pi} V_0 \frac{1}{2} [-\cos\pi + \cos\psi] = \frac{3\sqrt{3}}{\pi} V_0 \left(\frac{1 + \cos\psi}{2} \right) = VLC_0 \left(\frac{1 + \cos\psi}{2} \right)
 \end{aligned}$$



Rectificador trifásico serie semicontrolado S3

Estudio de las tensiones



Rectificador trifásico serie semicontrolado S3

Estudio de las tensiones

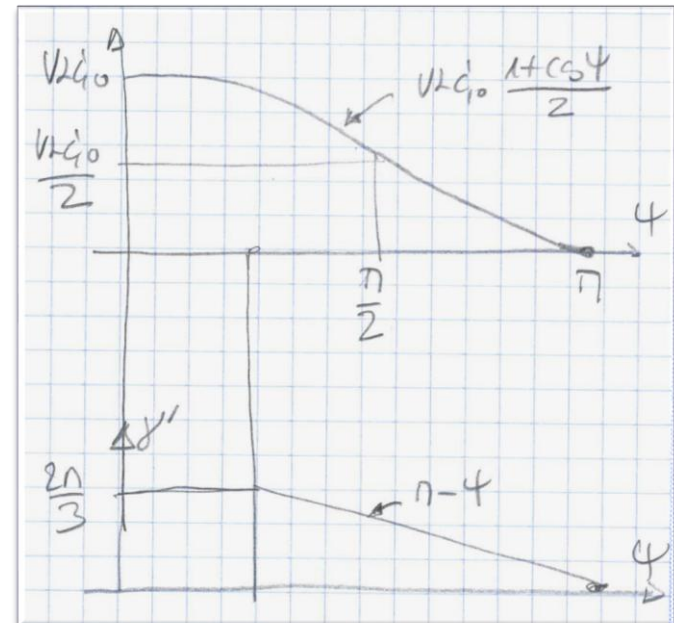
Carga resistiva o inductiva:

$$0 \leq \psi \leq \frac{\pi}{3} \rightarrow \gamma' = \frac{2\pi}{3}$$

$$\begin{aligned} VLC_0' &= \frac{3}{2\pi} \left[\int_{\psi}^{\frac{\pi}{3}} V_0 \sin\left(\alpha + \frac{\pi}{3}\right) d\alpha + \int_{\frac{\pi}{3}}^{\frac{2\pi}{3} + \psi} V_0 \sin\alpha d\alpha \right] = \\ &= \frac{3}{2\pi} \left[\int_{\frac{\pi}{3} + \psi}^{\frac{2\pi}{3}} V_0 \sin\alpha d\alpha + \int_{\frac{\pi}{3}}^{\frac{2\pi}{3} + \psi} V_0 \sin\left(\alpha - \frac{\pi}{3}\right) d\alpha \right] = \\ &= \frac{3}{\pi} V_0 \left(\frac{1 + \cos\psi}{2} \right) = VLC_0 \left(\frac{1 + \cos\psi}{2} \right) \end{aligned}$$

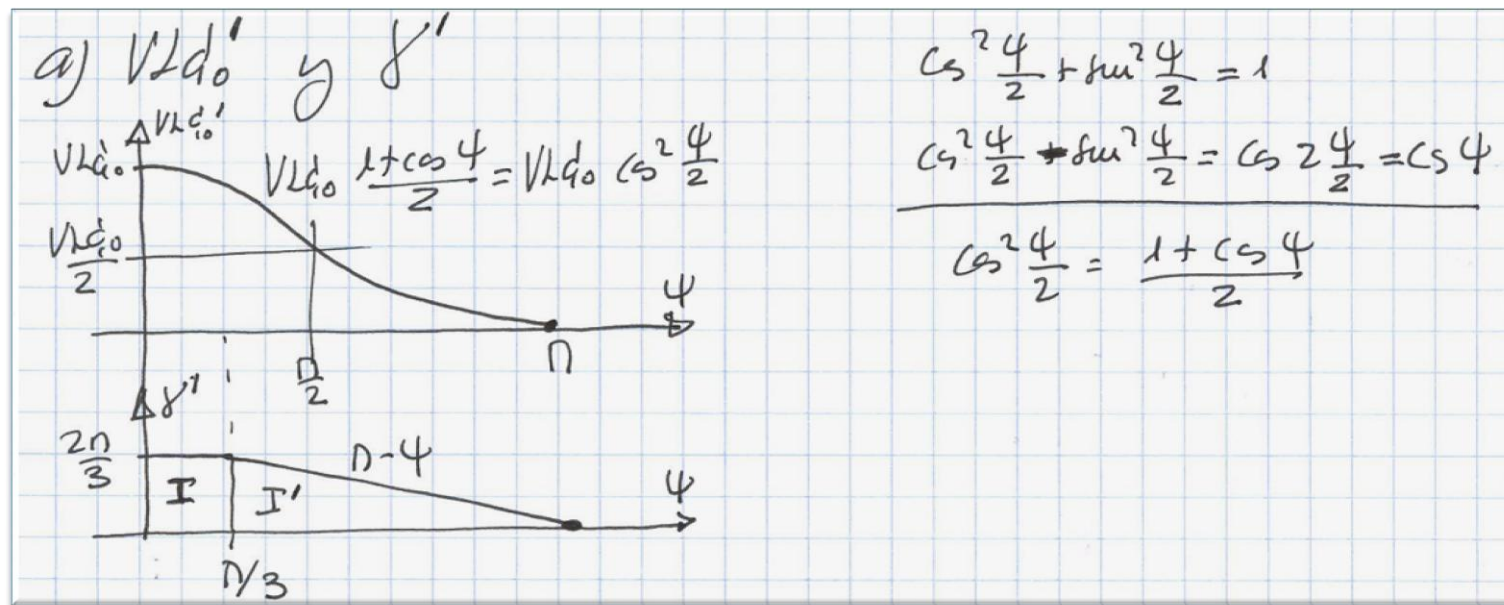
$$\frac{\pi}{3} < \psi \leq \pi \rightarrow \gamma' = \pi - \psi$$

$$\begin{aligned} VLC_0' &= \frac{3}{2\pi} \left[\int_{\psi}^{\pi} \sqrt{3} V_0 \sin\alpha d\alpha \right] = \frac{3}{\pi} V_0 \frac{1}{2} [-\cos\pi + \cos\psi] = \\ &= \frac{3}{\pi} V_0 \left(\frac{1 + \cos\psi}{2} \right) = VLC_0 \left(\frac{1 + \cos\psi}{2} \right) \end{aligned}$$



Rectificadores semicontrolados

Tensiones rectificadas y ángulos de control: resumen



Rectificadores semicontrolados

Tensiones rectificadas y ángulos de control: resumen

b) Corrientes

PD3

$$\left\{ \begin{array}{l} 0 \leq \psi \leq \frac{\pi}{3} \\ \psi = \frac{\pi}{3} \end{array} \right. \quad \text{Diagrama: } \text{Circuito con diodo controlado por } \psi, \text{ con resistencia } R \text{ en paralelo.}$$

$$I_S' = \sqrt{\frac{1}{2n} \left[2 \frac{2n}{3} I_C^2 \right]} = \sqrt{\frac{2}{3}} I_C \rightarrow I_S' = I_S$$

$$\left\{ \begin{array}{l} \frac{\pi}{3} \leq \psi \leq \pi \\ \psi = \frac{\pi}{2} \end{array} \right. \quad \text{Diagrama: } \text{Circuito con diodo controlado por } \psi, \text{ con resistencia } R \text{ en paralelo.}$$

$$I_S'' = \sqrt{\frac{1}{2n} \left[2(n-4) I_C^2 \right]} = \sqrt{\frac{n-4}{n}} I_C \rightarrow I_S'' = I_S \sqrt{\frac{n-4}{\frac{2n}{3}}}$$

S3

$$\left\{ \begin{array}{l} 0 \leq \psi \leq \frac{\pi}{3} \\ \psi = \frac{\pi}{3} \end{array} \right. \quad \text{Diagrama: } \text{Circuito con diodo controlado por } \psi, \text{ con resistencia } R \text{ en paralelo.}$$

$$I_S' = \sqrt{\frac{1}{2n} \left[\frac{2n}{3} \left(\frac{2}{3} I_C \right)^2 + 2 \frac{2n}{3} \left(\frac{1}{3} I_C \right)^2 \right]} = \frac{\sqrt{2}}{3} I_C \rightarrow I_S' = I_S$$

$$\left\{ \begin{array}{l} \frac{\pi}{3} \leq \psi \leq \frac{2\pi}{3} \\ \psi = \frac{\pi}{2} \end{array} \right. \quad \text{Diagrama: } \text{Circuito con diodo controlado por } \psi, \text{ con resistencia } R \text{ en paralelo.}$$

$$I_S'' = \sqrt{\frac{1}{2n} \left[(n-4) \left(\frac{2}{3} I_C \right)^2 + 2(n-4) \left(\frac{1}{3} I_C \right)^2 \right]} = \frac{\sqrt{2}}{3} \sqrt{\frac{n-4}{n}} I_C \rightarrow I_S'' = I_S \sqrt{\frac{n-4}{\frac{2n}{3}}}$$

De igual forma $I_P' = I_P \sqrt{\frac{n-4}{\frac{2n}{3}}}$

$$I_{red}' = I_{red} \sqrt{\frac{n-4}{\frac{2n}{3}}}$$

Rectificadores semicontrolados

Corrientes en el rectificador

- ▶ Las corrientes I_s , I_p , I_{red} si dependen de ψ , tanto en su forma como en su valor eficaz.
- ▶ Para $\psi < \frac{\pi}{3}$ cada pulso de tensión rectificada esta formada por dos trozos de senoide y la corriente en el secundario sigue los mismos patrones que en un rectificador controlado.
- ▶ Para $\psi > \frac{\pi}{3}$ cada pulso de tensión rectificada esta formada por un trozo de senoide y un segmento nulo. Durante este último existe superposición en la conducción de tiristores y diodos unidos a la misma fase secundaria. Esto va a hacer que la corriente en el secundario disminuya cuando se incremente el ángulo de disparo ψ .

$$0 \leq \psi \leq \frac{\pi}{3} \rightarrow \gamma' = \frac{2\pi}{3}$$

$$I_s = \sqrt{\frac{1}{2\pi} \left[2 \frac{2\pi}{3} ILC^2 \right]} = \sqrt{\frac{2}{3}} ILC$$

$$\psi > \frac{\pi}{3} \rightarrow \gamma' = \pi - \psi$$

$$I_s' = \sqrt{\frac{1}{2\pi} [2(\pi - \psi) ILC^2]}$$

$$\frac{I_s'}{I_s} = \sqrt{\frac{\pi - \psi}{2\pi}}$$

PD3



$$0 \leq \psi \leq \frac{\pi}{3} \rightarrow \gamma' = \frac{2\pi}{3}$$

$$I_s = \sqrt{\frac{1}{2\pi} \left[\frac{2\pi}{3} \left(\frac{2}{3} ILC^2 \right) + 2 \frac{2\pi}{3} \left(\frac{1}{3} ILC^2 \right) \right]}$$

$$\psi > \frac{\pi}{3} \rightarrow \gamma' = \pi - \psi$$

$$I_s' = \sqrt{\frac{1}{2\pi} \left[(\pi - \psi) \left(\frac{2}{3} ILC^2 \right) + 2(\pi - \psi) \left(\frac{1}{3} ILC^2 \right) \right]}$$

$$\frac{I_s'}{I_s} = \sqrt{\frac{\pi - \psi}{2\pi}}$$

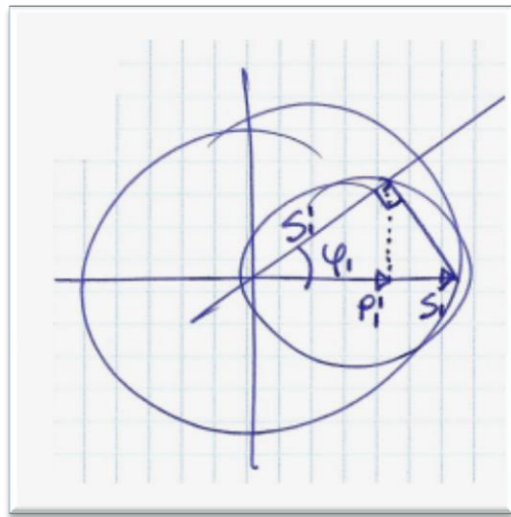
S3



Rectificadores semicontrolados

Triángulos de potencia, factor de potencia y nivel de armónicos

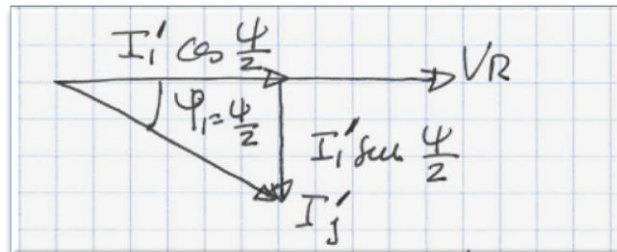
- En los rectificadores controlados no ideales ($\Delta V_x \neq 0$), se pueden dibujar los triángulos de potencia S_1 , S'_1 y P'_1 , de la siguiente manera:



$$\begin{cases} S_1 = \sqrt{3} \cdot U_1 \cdot I_1 \\ S_1 = V_{LC0} \cdot I_C \end{cases}$$

$$S'_1 = S_1 \cdot \cos \varphi_1$$

$$\begin{cases} P'_1 = S'_1 \cdot \cos \varphi_1 = (S_1 \cdot \cos \varphi_1) \cdot \cos \varphi_1 = S_1 \cdot \cos^2 \varphi_1 \\ P'_1 = V_{LC} \cdot I_C \end{cases}$$



$$I'_1 = I_1 \cos \varphi_1$$

Rectificadores semicontrolados

Triángulos de potencia, factor de potencia y nivel de armónicos

Es importante la siguiente relación:

$$\cos^2 \varphi_1 = \frac{1 + \cos \psi}{2} - \frac{\Delta V_x}{V_{LC0}}$$

Partiendo de la tensión en carga:

$$V_{LC} = V_{LC0} - \Delta V_x \quad V_{LC0} = V_{LC0} \frac{1 + \cos \psi}{2}$$

Igualando las dos expresiones de la potencia útil en la carga

$$S_1 \cdot \cos^2 \varphi_1 = V_{LC} I_C$$

$$(V_{LC0} \cdot I_C) \cdot \cos^2 \varphi_1 = [V_{LC0} - \Delta V_x] I_C$$

$$(V_{LC0} \cdot I_C) \cdot \cos^2 \varphi_1 = \left[\left(V_{LC0} \cdot \frac{1 + \cos \psi}{2} \right) - \Delta V_x \right] I_C$$

Se obtiene la expresión buscada:

$$\cos^2 \varphi_1 = \frac{1 + \cos \psi}{2} - \frac{\Delta V_x}{V_{LC0}}$$

Rectificadores semicontrolados

Triángulos de potencia, factor de potencia y nivel de armónicos

- El factor de potencia tanto en un PD3 como en un S3 cualquiera que sea el tipo de carga (R, L)

$$0 \leq \psi \leq \frac{\pi}{3}$$

$$\frac{F'}{F} = \frac{1 + \cos \psi}{2}$$

$$\psi > \frac{\pi}{3}$$

$$\frac{F'}{F} = \frac{1 + \cos \psi}{2} - \sqrt{\frac{\pi - \psi}{\frac{2\pi}{3}}}$$

Con $\Delta V_x = 0$

$$F = \frac{3}{\pi}$$

Rectificadores semicontrolados

Armónicos

$$h' = k_n 3 \pm 1$$

$$I'_h = \frac{I_1}{h} \left| \cos h \frac{\psi}{2} \right|$$

Impares:
5, 7, ...

$$I'_h = \frac{I_1}{h} \left| \sin h \frac{\psi}{2} \right|$$

Pares:
2, 4, ...

$$I'_z = \sqrt{\sum I'^2_h}$$

$$I_{RED}^2 = I_1^2 + I_z^2$$

